

浓缩同位素的高速离心方法

译文集

申 兴 路 人 等 编 译



中国科学院原子核科学委员会编辑委员会编辑
中 国 工 业 出 版 社 出 版

12.38063

174

浓缩同位素的高速离心方法

译 文 集

申 兴 路 人 等 编 译



中 国 工 业 出 版 社

浓缩同位素的高速离心方法

译文集

申 兴 路 人 等 编 译

*
中国科学院原子核科学委员会編委会編輯

中国工业出版社出版(北京修麟閣路丙10号)

(北京市书刊出版事业許可証出字第110号)

中国工业出版社第一印刷厂印刷

新华书店北京发行所发行·各地新华书店經售

*
开本 787×1092¹/16 · 印張16¹/8 · 字数380,000

1963年5月北京第一版 · 1963年5月北京第一次印刷

印数001—960 · 定价(11·8)2.50元

*
统一书号：15165·1975(核-26)

序 言

早在二十世紀的二十年代，就有人設想用超離心法分離同位素了。但是，直至四十年代末，才在實驗室中實現了同位素之離心法分離，而至今離心法仍未能應用于工業生產。離心機研究工作的進展之所以比較遲緩，主要是由於高轉速技術的一系列困難，此外，離心法分離同位素的理論也還不成熟。儘管如此，由於離心力場對重元素同位素的一級分離系數比較大，因而特別適宜於濃縮 U^{235} ；所以，在一些資本主義國家中仍不斷地對離心法進行研究。二次世界大戰後的十多年来，在西德、美國和蘇聯，對超離心機的研究已有了很大的進展；一般認為，超離心法頗有希望用於濃縮 U^{235} 之工業生產。

在本文集中，詳盡地搜集了二次世界大戰後有關超離心法的文獻，其中包括超離心的技術和分離理論。為了使讀者能够了解超離心法的發展過程，文集中也搜集了一些二次大戰前的代表性文獻。本文集不僅對於從事超離心法的研究的同志，而且對於從事同位素分離塔的一般理論的研究的同志，都可能是有興趣的。

由於編譯者水平有限，本文集中難免有錯誤和不確切之處，十分希望讀者指正。

申 兴 路 入
1962年5月11日

目 录

序 言

管状真空型离心机	1
作者: J. W. Beams.	
譯自: Rev. Sci. Inst. 9,(1938),413。	
用离心法分离溴同位素	4
作者: F. Humphreys.	
譯自: Phys. Rev. 56,(1939),684。	
分离(特别是应用重力場分离)混合气体的多級化方法	14
作者: H. Martin, W. Kuhn.	
譯自: Z. Physikal. Chem. Abt. A, Bd. 189, Heft 4/8,(1941),219。	
同位素分离理論(离心机部分)	68
作者: K. Cohen.	
摘要自: The Theory of Isotope Separation as Applied to The Large-Scale Production of U ²³⁵ (1951)。	
气体离心机中的对流过程——強重力場中的热对流	91
作者: H. Martin.	
譯自: Z. F. Elektrochemie, 54,(1950)120。	
用氫穩化的超离心机濃縮同位素	104
作者: W. Groth, P. Harbeck.	
譯自: Z. F. Elektrochemie und Angewandte Phy- sikalische Chemie Bd. 54, Nr. 2, März (1950)129。	
气体的离心分离——用离心分离方法濃縮氙、氪及硒的同位素	108
作者: K. Beyerle, W. Groth, P. Harbeck, H. Jenson.	
譯自: Monographien Zu "Angewandte Chemie" und "Chemie Ingenieur Technik" Nr. 59 (Verlag Chemie, G. m. b. H. Weinheim Bergstrasse 1950)。	
以离心法濃縮鈾同位素	150
作者: W. Groth, K. Beyerle等。	
摘要自: Forschungsberichte des Wirtschafts und verkehrsministeriums Nordrhein-Westfalen Nr. 510,(1958)。	

离心法分离同位素理論的檢驗	176
作者: J. W. Beams.	
譯自: Proceedings of the Second United Nations International Conference on The Peaceful Uses of Atomic Energy, Vol. 4,(1958),428。	
热控制的逆流离心机之分离势	185
作者: W. Groth, K. H. Welge.	
摘要自: Z. Phys. Chemie, Bd. 19,(1959),1.	
热控制逆流气体离心机的分离势, (Ⅱ) 非对称分离过程	193
作者: W. Bulang, W. Groth, I. Jordan等。	
譯自: Z. Physik, Chemie, Neue Folge 24,(1960),249。	
气体离心机内部温度分佈的影响	204
作者: J. Los, J. Kistemaker	
譯自: Proceedings of The International Sympo- sium on Isotope Separation, Amsterdam, (1957),695。	
用离心机濃縮鈾同位素	208
作者: J. Kistemaker, J. Los, E. J. J. Veldk- uyzen.	
譯自: Proceedings of The Second United Nations International Conference on the Peaceful Uses of Atomic Energy, Vol. 4,(1958),435。	
在分离同位素的超高速长离心机中产生自串級的軸向气流	215
作者: M. Steenbeck.	
譯自: Kernenergie, 1,(1958),921。	
短碗状离心机的研究	223
作者: G. Zippe, J. W. Beams, A. E. Kuhlthan.	
摘要自: Progress Report of Contract AT-(40-1)- 2400(1958)。	
短碗状离心机的研究(总结报告)	230
作者: G. Zippe.	
摘要自: Final Report on Contract AT (40-1)- 2400(1959)。	
用逆流离心法分离同位素, (Ⅰ) 逆流流型对分离本領的影响	246
作者: 金川昭, 大山义年	
譯自: 日本原子力学会志 Vol. 3, No. 11,(1961), 868。	

管状真空型离心机

真空型空气驱动的离心机⁽¹⁾⁽²⁾⁽³⁾⁽⁴⁾是很有效的，因为当它工作时，不存在物质的扰动或再度混合。能达到的最大离心力仅受转筒破坏强度的限制。由于转筒的尺寸和形状，单位时间能被分离物质的量受到了一定的限制。这一限制由两个原因造成：第一，由于力学原因，转筒长度不能比它的直径大很多，或者说，转筒绕转动轴的惯性矩通常比绕垂直轴的惯性矩要大，因而限制了离心机的有效容量；第二，物质并不连续地通过离心机，因此为了抽空转筒和再充气，必须停止转动和从真空套取出转筒。为了克服这些缺点，研究了管状真空型空气驱动离心机⁽⁵⁾。在这个装置里，欲分离的物质从转筒的顶上进入，在底部分成两部分被收集。由于气垫座的改进，使得它可能支撑很重的转筒，因此转筒的长度可以较长，离心分离的速度也就较大。气垫座和空气涡轮位于转筒上面或下面的管状离心机都已有效地运转，但本文只详述后者。已经对液体、气体和蒸汽中的物质进行了分离，所用机器的设计基本相同，所不同的仅仅是转筒内部结构的细节。

图1为按比例缩小的用来分离气体及蒸汽的装置图，图2及图3为这一装置的照片。转动部分包括用空气支承并用空气驱动的透平T、转筒R及柔性管轴S₁、S₂和S₃。S₁通过真空油密封G₁，S₂和S₃通过真空油密封G₂和G₃，S₃还通过真空油密封G₄。G₁和G₂封住真空室V，而G₃和G₄使得有可能把从S₂和从同心管轴S₂和S₃之间流出来的物质分开。S₁、S₂和S₃是外径分别为0.109吋、0.075吋和0.125吋的不锈钢皮下注射针管。图1之(b)为真空油密封的放大截面图，各真空油密封的设计都是一样的，只是尺寸有所不同。用一根黄铜或硬铜棒加工成Q的形状，沿它的轴线钻一比轴S约大 $\frac{1}{8}$ 吋的孔，把长为 $\frac{1}{4}$ 吋~ $\frac{3}{8}$ 吋的两个塞子U插入孔的两端并焊住(见图1)，塞子用轴承材料如巴比特合金、青铜或Oilite做成，先在塞子上打孔，然后细心地扩孔，直到磨光的轴S能刚好滑动通过而不受力。Q装在用柔软的耐油物质(如氯丁胶)做成的环W上。真空泵油(Cenco 93050B)通过O打入每一油密封。如果做得好，则每小时仅有1c.c.左右的油从U漏出。这些油经常被收集、过滤、再使用。轴承上产生的热由油传导到支承油密封的大金属板上去。为了更可靠地防止事故，增加了出口O₁'、O₂'、O₃'和O₄'，这样就能使油循环，以保持轴有均匀的温度。为了这一目的，也可以用水来冷却U，但用油循环更好。然而除了在用粗轴以极高的转速运转时和分离液体(液体分离得较慢)时需要油循环外，实际是不需要使油循环的。在多数情况下O₁'、O₂'、O₃'及O₄'是塞住的。

“球匣”形的透平T用硬铝制成，其直径大致由R的大小决定。在图1、2和3上，R是4吋，它是 $1\frac{1}{8}$ 吋。T被支撑在它的平的下表面和电木圈F之间的气垫上。F柔软地支承在氯丁橡胶或橡皮环上。F、T之间的自由空气隙做得很小，以保证重转筒的稳定。T直接为空气流所驱动，空气从环形空气室的柱形内壁的孔道进来，冲击T的槽。孔

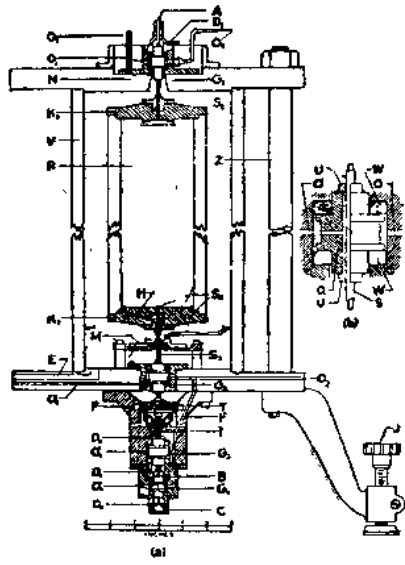


图 1 (a) 用于分离气体和蒸汽的管状真空型离心机。(b) 真空油密封的放大图

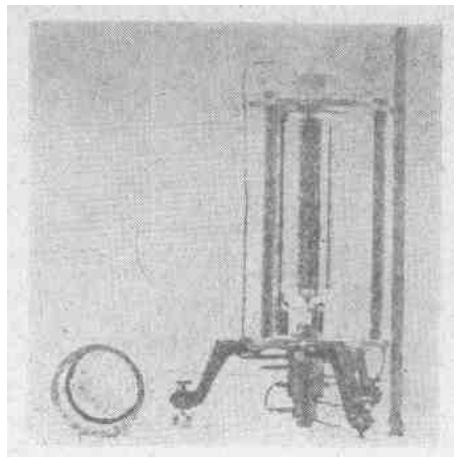


图 2 管状真空型离心机除去真空室后的照片。
其左边为真空室。其右边是一根以吋为刻度的尺

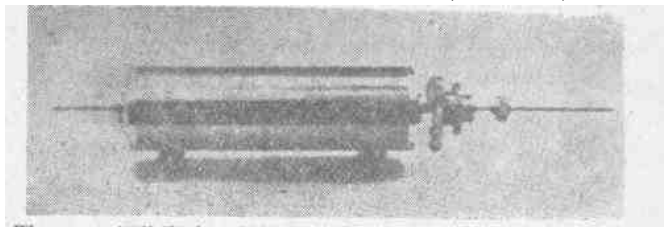


图 3 全部装配在一起的轉筒、管軸、空氣透平、滑動軸承及密封真空室的可拆卸的下部油密封象片，此裝配件已可裝入離心機

道的軸線位于水平面內。若將其延長，將形成一直徑比 T 約小 $\frac{3}{16}$ 吋的一個圓的包線。孔道的大小和數目的限制都不很嚴格，它取決于 T 的大小及空氣的有效供給。在圖 1 上空氣室有 8 個用 53 號鉆頭打的孔道， T 有 23 個槽。轉筒 R 是中空的熱處理過的鋼（鎳-鉬 SAE 4130X）管，在圖 1、2 和 3 上其外徑為 4 吋，壁厚約 $\frac{1}{2}$ 吋。頂蓋 K_1 、 K_2 是用合金鋼或硬鋁 ST-14 做的。它們用鋼螺釘聯結，用橡皮、氯丁橡膠或軟金屬墊圈真空密封。軸 S_1 、 S_2 和 S_3 焊在 K_1 及 K_2 內。帶有一個用皮革做的軸承的硬鋁板 M ，可以自由地在它的支承板的塗油的上表面上滑動。從 G_1 及 N 漏出來的油被收集在 V 的內壁上的阱內，被用來潤滑這個皮革做的軸承。該軸承在 R 加速到每秒几百轉的過程中是有用的。高轉速時，皮革軸承通常松到足以不接觸軸。 M 對於機器的良好運轉不是絕對必須的，很多次曾省略掉它而無嚴重後果。在調整時，撤去真空室 V 而轉動 R ，此時用三根堅立的鋼柱 Z 來支撐上平板。鋼柱 Z 還能使裝置更堅固。真空室 V 的兩端是平的、互相平行的，並且被磨得與上、下平板密合，這樣，只要用普通的真空閥就能保持很好的真空。上面的油密封 G_1 裝在活動的金屬板 N 上， N 的下表面是磨過的，與真空室頂蓋的上表面密合。真空泵油在幾磅的壓力下由 O_2 打入，使 N 支持在一薄油膜上。每小時僅有幾 c.c. 的油經過這個浮動軸承 N 漏入真空室。

開動離心機時，首先用三個調節水平的螺栓 J 和酒精準水儀來調整轉筒軸使之垂直。然後，支持用的空氣在一定壓力下通入 I ，以支持轉動部件。由設計可知，壓力不是嚴格

限的。只要調節一下 I 的空氣壓力，從 1 到 50 磅的轉筒都能用於同樣的支承。在圖 2 的裝置中，支持壓力為 30~35 磅/吋² 需要的空氣流量（折合為標準情況）為 4.3 呎³/分。調節 D_2 使經過它漏出來的空氣足以能把從 G_3 中漏出來的油吹走。支持壓力也作用在所有的油密封上。對於很重的轉筒來說，唯有 G_3 受到必要的高支持壓力的作用。在這種情況下要用較重的油。真空室通過 E 抽真空，使壓強低於 10^{-3} mmHg，而驅動壓力通過 P 供給。當轉筒被加速時， R 通過某些頻率，在這些頻率下可觀察到 N 在它的油墊上自由地“幌動”，而低於或高於這些頻率時， N 保持穩定，趨向於使轉筒軸垂直的位置。根據作者的經驗，當 N 被緊緊地固定在上平板時，使 R 通過這些臨界頻率很困難。軸肯定要斷裂。而當 N 浮在油上時，這種現象決不會發生。當 R 通過這些頻率時，加速度實際上是均勻的。當然，機器工作時的轉速總是遠離這些臨界頻率的。若供給 P 以 60 磅/吋² 的壓力，圖 1、2 和 3 上所示裝置中的轉筒 R 在 30 分鐘內約可以達到 1200 轉/秒。所要求的空氣流量折合成標準狀態約為 28 呎³/分。而在 P 处供給 30~40 磅/吋² 的壓力，轉速就保持為常數。因為長柱體的慣性矩大，只要小心調節驅動壓力，轉速就能保持常數。

當離心分離氣體或蒸汽時，物質從 A 點進來，經過 S_1 在頂部進入 R 。在 R 內向下流時，就發生了分離。輕餾份通過 S_2 流下并在 C 处被收集，而重餾份在圓形凸緣和 R 的內壁間（間隙 0.002 吋）流動，而後經過通道 H （ H 的數目應尽可能多）進入同心管軸 S_3 和 S_4 之間的空間并在 B 处被收集。在 C 处和 B 处被收集的輕、重餾份的數量之比可用 C 和 B 处的調節閥來調整。在 D_1 、 D_3 和 D_4 处的油阱用來收集從油密封 G_1 、 G_3 和 G_4 中漏出來的油。特別須注意， G_1 、 G_3 和 G_4 的油壓通常必須超過在 A 、 B 、 C 处相應的氣體或蒸汽的壓力。

參 考 文 獻

- [1] Beams and Pickels, Rev. Sci. Inst. 6, 299(1935).
- [2] Bauer and Pickels, J. Exp. Med. 64, 503(1936); 65, 565(1937).
- [3] Wyckoff and Lagsdin, Rev. Sci. Inst. 8, 74(1937).
- [4] Beams, J. App. Phys. 8, 795(1937).
- Beams, Linke and Sommer, Rev. Sci. Inst. 9, 248(1938).
- [5] Beams, Linke and Skarstrom, Science 86, 293(1937).

用 离 心 法 分 离 溴 同 位 素

* * *

本文研究 Beams 型离心机产生的强离心力场，此离心力场被用来部分分离較重同位素。提出了关于二元同位素混合物“蒸发离心分离”的近似理論，这一理論能够預言在給定条件下的組份变化。为了驗証这种方法是否可行，以溴乙烷进行溴同位素分离。分离結果以光譜鑑定。相对于Br⁸¹而言，Br⁷⁹被加濃了11%。这与預計的濃縮系数很好地符合。

* * *

若气体或液体混合物处于引力場中，較重的分子就会沿着場的方向濃集。若引力場是地球重力場，經過相当长的時間后这种分离仍是小得可以忽略不計。但借助于高速离心机，可将力場增加很多倍，因而使得这个方法能被应用。Lindemann 和 Aston⁽¹⁾首先提出了应用此法于同位素混合物的可能性，以后Mulliken⁽²⁾又研究过其中某些細节。二元同位素混合物的分离系数 θ 可被定义为在最弱場处的丰度比和最强場处的丰度比（即离心机轉筒的中心和边缘处）之比值。在离心力場中的分离系数 θ 为：

$$\theta = \exp \left[\frac{(M_2 - M_1)v^2}{2RT} \right],$$

v 是圓周速度， R 是气体常数， T 是絕對溫度， M_1 和 M_2 是輕和重同位素的质量。因此，分离系数仅仅依赖于同位素的质量差，而与任一同位素的质量无关。由于这个特点，离心法对于輕、重同位素同样有效。此外，因为分子量大小并不是最重要的，所以我們研究的同位素的原子可以是任何一种分子的組成者。以后会看到，在選擇所应用的分子时，虽然分子量的影响較小，但是不能完全忽視。然而这一限制並不苛刻。

如同許多其他濃縮同位素的方法一样，分离系数随着溫度下降而加大；不幸，离心机的机械上的困难也隨溫度下降而增多，以致仅能在室溫下工作。

在評論离心分离同位素的可能性时，Mulliken⁽²⁾提出了两种可用的方法：(1)在一个旋轉的空（或大部分空）室的一端引进气体或液体，同时在另一端取出，連續进行操作；(2)通入少量具有高蒸气压的液体，蒸气充满轉筒，而且被分离；液体的作用單純是連續供給蒸气，如同引入蒸气那样地取出蒸气，即穿过支承轉筒的管軸取气。

每种方法都有优点。如果离心分离液体，则必須用連續流动法。然而，由于两个很大的困难而使我們不用液体——第一，液体达到平衡所需的时间为气体的几百倍或是几千倍；第二，即使离心机的振动很小，也将引起已被分离之馏份的混合。Mulliken⁽²⁾曾試圖离心分离水銀，但这些困难使分离失敗。但如果用蒸气或气体，在生产大量加濃物质时，連續流动法是有效的。Skarstrom, Carr 和 Beams⁽³⁾用这种方法已經得到16c.c.四氯化碳液体，其中的Cl³⁷被加濃了5%。这方法的主要缺点在于机械上有一定的困难，虽然在Beams的管状离心机⁽⁴⁾中，很多困难已被解决。

第二种方法——蒸发离心分离——的产量受到限制，因为开始时只能将有限量的物质放入轉筒內。但在轉筒設計方面将有利于高轉速，因而分离系数較大，并且机械系統較簡單。因此，目前工作中采用此法。

以下所討論的是蒸发离心法的简单理論、理論在特殊問題上的应用和得出的結果。

I. 理 論

1. 分 离 系 数

为了方便，現在仅考虑两种同位素。这是通常遇到的情形。而推广到 n 个同位素的情况并不会得到新的有意义的結果。令两种同位素气体的分压为 p_1 、 p_2 （以脚标“1”表示輕分子），并使其在足够长的时间（理論上为无限大）内經受恒定的离心加速度 $\frac{v^2}{r}$ ，以使混合物的成份达到稳定值；則

$$dp_1 = (v^2/r)p_1 dr = p_1 \omega^2 r dr,$$

其中 ρ 是气体密度， ω 是角速度。假定 M_1 是同位素 1 的分子量，

$$\rho_1 = \frac{M_1 p_1}{RT}; \quad \frac{1}{p_1} dp_1 = -\frac{M_1 \omega^2 r}{RT} dr; \quad (1)$$

$$\log [p_1(r)/p_1(r_0)] = -\frac{M_1 \omega^2 (r^2 - r_0^2)}{2RT}.$$

对同位素 2 写出同样的公式，而后相减：

$$\log \frac{p_1(r_0)/p_2(r_0)}{p_1(r)/p_2(r)} = -\frac{M_2 - M_1}{2RT} (v^2 - v_0^2).$$

克分子分数之定义为：

$$x_1 \equiv \frac{p_1}{\rho}; \quad x_2 \equiv \frac{p_2}{\rho}.$$

若轉筒是完全中空的， $r_0 = 0$ ；則

$$\theta = \frac{x_1(0, t)/x_2(0, t)}{x_1(r, t)/x_2(r, t)} = \exp \left[\frac{(M_2 - M_1)v^2}{2RT} \right], \quad t \rightarrow \infty \quad (2)$$

为避免在下面产生混乱，把距离和时间这两个变量都明显地标注出来，虽然在这里时间变量仅仅是作为极限条件被引入的。

2. 壓 強 梯 度

除很輕的分子外，可以用平均分子量 M 近似地代替 M_1 或 M_2 ；所以

$$\frac{p(r)}{p(0)} = e^{\frac{M v^2}{2RT}} \quad (3)$$

轉筒边缘与中心的压强之比依赖于 M ，而不依赖于 $M_2 - M_1$ 。因为蒸汽是由中心取出的，中心的压强低就意味着产量少，就这方面而言应当考虑分子量的大小。然而，可以借使用室温下具有高蒸汽压的化合物来补偿分子重量的影响，这样便可以增加 $p(r)$ ，也就增加了 $p(0)$ 。

3. 对 θ 的 說 明

式(2)仅仅给出了轉筒中心处与边缘处同位素丰度比之比值。若想知道轉筒中心或边缘处的蒸汽丰度的变化，还必须知道这两个丰度比中的任意一个数值。并且，如果以有限速度从轉筒中心取出蒸汽，混合物的成份就决不会达到稳定值，所以 x_1 和 x_2 既是距离的函数又是时间的函数。时间变量之引入对于 θ 的影响将在第四节中加以计算；而在这一节中，为了方便，把 θ 当作（与时间有关的）克分子分数的函数（即取消式(2)中的限制： $t \rightarrow \infty$ ）。在第四节再来修正这些结果。

令 $N_1(t)$ 是在时刻 t 整个轉筒内的分子1总数， $N(t)$ 是轉筒內各种分子的总数， $N'_1(t)$ 是由轉筒中取出的分子1的数目。为了与前面的符号一致，令 $N_1(r,t)$ 为在时间 t 位于 r 和 $r+dr$ 之間的分子1数， $N(r,t)$ 为在时间 t 位于 r 和 $r+dr$ 之間各种分子的总数，等等。那么，

$$x_1(r,t) = \frac{N_1(r,t)}{N(r,t)}; \quad x_1(0,t) = \frac{N_1(0,t)}{N(0,t)}.$$

象某些其他濃縮方法一样，残余物成份的变化速率依赖于取出的分子数：

$$\frac{\partial N_1(t)}{\partial t} \sim N'_1(t) \quad \text{或} \quad \frac{\partial N_1(t)/\partial t}{\partial N_2(t)/\partial t} = \frac{N'_1(t)}{N'_2(t)}.$$

而所取出之蒸汽的成份必然与中心处的蒸汽的成份相同，所以

$$\frac{N'_1(t)}{N'_2(t)} = \frac{x_1(0,t)}{x_2(0,t)}.$$

除去有少量数量可以忽略的分子处于蒸汽状态外，几乎轉筒中的全部分子1都在边缘处的液态中。令 r_p 是由中心到边缘的距离， $r_p \geq r \geq 0$ ，則 $N_1(t) \leq N_1(r_p,t)$ 。所以，

$$\frac{\partial N_1(r_p,t)}{\partial N_2(r_p,t)} = \frac{x_1(0,t)}{x_2(0,t)} = \theta \frac{x_1(r_p,t)}{x_2(r_p,t)} = \theta \frac{N_1(r_p,t)}{N_2(r_p,t)},$$

或

$$\log \frac{N_1(r_p,t)}{[N_2(r_p,t)]^\theta} = \text{常数}.$$

在离心分离前——在时间 $t=t_0$ ，

$$N_1(r_p,t) = N_1(r_p,t_0) = N_1(t_0)$$

（在 $t=t_0$ 时，变量 r 沒有意义），

$$\frac{N_1(r_p,t)}{[N_2(r_p,t)]^\theta} = \frac{N_1(t_0)}{[N_2(t_0)]^\theta},$$

或

$$\frac{N_1(r_p,t)}{N_2(r_p,t)} = \frac{N_1(t_0)}{N_2(t_0)} \left[\frac{N_2(r_p,t)}{N_2(t_0)} \right]^{\theta-1}. \quad (4)$$

为了解此方程，設 $\theta - 1 \ll 1$ （这假設是合理的——在实验中， θ 是1.0686），那么

$$\frac{N_1(r_p,t)}{N_2(r_p,t)} \approx \frac{N_1(t_0)}{N_2(t_0)},$$

或

$$\frac{N(r_p,t)}{N_2(r_p,t)} \approx \frac{N(t_0)}{N_2(t_0)},$$

所以

$$\frac{N_2(r_p, t)}{N_2(t_0)} = \frac{N(r_p, t)}{N(t_0)} = \frac{N(t_0) - N'(t)}{N(t_0)} = 1 - \frac{N'(t)}{N(t_0)}.$$

令 $\frac{N'(t)}{N(t_0)} \equiv F$ (所取出的物质之分数)。代入(4)式:

$$\frac{N_1(r_p, t)}{N_2(r_p, t)} = \frac{N_1(t_0)}{N_2(t_0)} [1 - F]^{a-1}.$$

以符号 K 表示丰度比:

$$K \equiv \frac{N_1}{N_2} = \frac{x_1}{x_2},$$

所以:

$$K(r_p, t) = \frac{K(0, t)}{\theta} = K(t_0) [1 - F]^{a-1}, \quad (5)$$

$K(t_0)$ 是已知的初始丰度比, θ 可按(2)式加以计算 [(2)式必须按下节的说明加以修正]; 所以, 给定“馏份比” F 后, 就可以算出在中心处或在边缘处的改变后的丰度比。

4. 残余物的成份

在离心机转筒内有两种相反的梯度——浓度梯度和压强梯度。每种梯度都会引起分子的扩散, 前者使分子向边缘扩散, 后者使分子向中心扩散。如果不从转筒取出物质, 则由一种原因引起的每秒穿过给定截面积的扩散分子数等于另一种原因引起的扩散分子数。因而, 建立了平衡。然而, 若在中心处以泵抽气, 平衡就被破坏, 并且只要抽气继续不停, 平衡就不再恢复。抽气之作用在于增加向转筒中心运动的每秒分子数。

令 Q_c 是由于浓度梯度引起的每秒扩散量; Q_p 是由于压强梯度引起的每秒扩散量; Q 是每秒取出量。显然, 若扩散和抽气速率是不随时间而改变的, 则

$$\frac{\partial}{\partial t} (Q - Q_c + Q_p) = 0,$$

或

$$Q - Q_c + Q_p = Q_{t_0}, \quad (6)$$

在浓度梯度 $\frac{\partial c}{\partial r}$ 的作用下, 在垂直于截面 A 的方向上的每秒扩散量 Q_c 为:

$$Q_c = -DA \frac{\partial c}{\partial r},$$

其中 D 是扩散系数。若 h 是转筒室的高度, 对于分子 1 得到:

$$Q_c = -2\pi rhD \frac{\partial c_1(r, t)}{\partial r}.$$

但

$$c_1(r, t) = x_1(r, t) \frac{P(r)}{RT},$$

所以

$$Q_c = -\frac{2\pi rhD}{RT} \frac{\partial}{\partial r} (x_1 P),$$

为方便, 暂不明显写出 x_1 和 P 函数中的变量。倘若取气井未剧烈破坏平衡, 可以近似地认为:

$$Q_p \cong Q_0 = -\frac{2\pi rhD}{RT} \frac{\partial}{\partial r} (x_1 p) = -\frac{2\pi rhD}{RT} \frac{\partial p_1}{\partial r}.$$

如果对同位素1写出式(6)，必须用 $x_1 Q$ 来代替 Q ，因而式(6)变成：

$$x_1 Q + \frac{2\pi rhD}{RT} \left\{ \frac{\partial}{\partial r} (x_1 p) - \frac{\partial p_1}{\partial r} \right\} = Q_0. \quad (7)$$

上式是在取出蒸汽时同位素1的质量运动方程式。因为(7)式包含近似关系式 $Q_0 = Q_p$ ，所以它仅是近似的。为了把方程(7)简化成只含一个因变量，考虑下式：

$$\frac{\partial}{\partial r} (x_1 p) = p \frac{\partial x_1}{\partial r} + x_1 \frac{\partial p}{\partial r} = p \frac{\partial x_1}{\partial r} + x_1 \left(\frac{\partial p_1}{\partial r} + \frac{\partial p_2}{\partial r} \right).$$

根据(1)式和对于同位素2的类似关系式，上式变成：

$$\frac{\partial}{\partial r} (x_1 p) = p \frac{\partial x_1}{\partial r} + x_1 \frac{\omega^2 r}{RT} (M_1 p_1 + M_2 p_2) = p \left[\frac{\partial x_1}{\partial r} + x_1 \frac{M_1 \omega^2 r}{RT} \right].$$

同样：

$$\frac{\partial p_1}{\partial r} = p_1 \frac{M_1 \omega^2 r}{RT} = x_1 p \frac{M_1 \omega^2 r}{RT}.$$

联合以上各式，式(7)可以写为：

$$x_1 Q + \frac{2\pi rhDp}{RT} \left[r \frac{\partial x_1}{\partial r} + \frac{\omega^2 r^2}{RT} (M - M_1)x_1 \right] = Q_0.$$

平均分子量 M 为：

$$M = M_1 x_1 + M_2 x_2,$$

所以

$$(M - M_1)x_1 = x_1 x_2(M_2 - M_1),$$

令

$$\alpha \equiv \frac{2\pi rhDp}{RT},$$

因为

$$D = \frac{\eta}{\rho} = \frac{\eta RT}{pM},$$

其中 η 是粘滞系数，所以

$$\alpha \equiv \frac{2\pi rh\eta}{M}.$$

因为 η 与压力无关，所以 α 不依赖于 r (设 h 沿 r 是常数)。令

$$\beta \equiv x_1(r, t)x_2(r, t)\omega^2(M_2 - M_1)/RT;$$

在一級近似的范围内，可认为 β 是与 r 和 t 都无关的常数，因为 $x_1(r, t)$ 和 $x_2(r, t)$ 之改变至多仅为一个小量，其乘积之变化甚至更小。这一假设与 $\theta = 1 \ll 1$ 等同，而且在以单个离心机产生小分离时是有效的。应当指出，正是借这个假设从方程(7)得到特解。现在将(7)式写成

$$x_1 Q + \alpha \left(\beta r^2 + r \frac{\partial x_1}{\partial r} \right) = Q_0,$$

以 $r^{(\frac{Q}{\alpha}-1)}$ 乘之，得：

$$\frac{\partial}{\partial r} \left(r^{(\frac{Q}{\alpha})} x_1 \right) = \left(\frac{Q_0}{\alpha} \right) r^{(\frac{Q}{\alpha}-1)} - \beta r^{(\frac{Q}{\alpha}+1)},$$

或

$$x_1 = \frac{Q_0}{Q} - \frac{\beta r^2}{2} \cdot \frac{2\alpha}{Q+2\alpha}.$$

在 $r=0$ 处, $x_1(r,t)=x_1(0,t)=\frac{Q_0}{Q}$, 所以

$$\begin{aligned} x_1(r,t)-x_1(0,t) &= -\frac{1}{2}\beta r^2 \frac{2\alpha}{Q+2\alpha} \\ &= -\frac{x_1(r,t)x_2(r,t)v^2}{2RT} (M_2-M_1)\left(-\frac{2\alpha}{Q+2\alpha}\right), \end{aligned}$$

但是 $\frac{v^2}{2RT} (M_2-M_1) = \log \theta$,

令 $\Delta x_1 \equiv x_1(r,t)-x_1(0,t)$, 于是

$$\Delta x_1 = -x_1(r,t)x_2(r,t) \cdot \frac{2\alpha}{Q+2\alpha} \log \theta.$$

在平衡态, $Q=0$:

$$(\Delta x_1)_{Q=0} = (\Delta x_1)_{max} = -x_1 x_2 \log \theta,$$

所以 $\frac{\Delta x_1}{(\Delta x_1)_{max}} = \frac{2\alpha}{Q+2\alpha} \equiv \epsilon$, (8)

ϵ 是对于在某一抽气速度 Q 下的平衡程度——或者更确切地说, 是接近于平衡状态的程度——的量度。扰乱平衡的后果相当于引入了一个小于 1 的 ϵ 值。正如预期那样, 抽气使所能达到的分离降低: 它使分离系数由 θ 减小到 θ' ,

$$\log \theta' = \epsilon \log \theta.$$

欲求 $x_1(r,t)$ 和 $x_2(r,t)$:

$$K(r,t) = \frac{x_1(r,t)}{x_2(r,t)} = K_0(t)[1-F]^{\theta'-1};$$

$$x_1 + x_2 = 1$$

(现在, 不平衡的影响已被修正); 所以

$$x_1(r,t)x_2(r,t) = -\frac{K(r,t)}{[K(r,t)+1]^2}$$

并且 $\Delta x_1 = -\frac{K(r,t)}{[K(r,t)+1]^2} \log \theta'$, (9)

平均分子量是 $M = x_1 M_1 + x_2 M_2$,

所以 $\Delta M = M_1 \Delta x_1 + M_2 \Delta x_2 = (M_1 - M_2) \Delta x_1$

或 $\Delta M = \frac{(M_2 - M_1) K(r,t)}{[K(r,t)+1]^2} \log \theta'$, (10)

本式以可测定的量表示出了沿着转筒半径的分子量梯度。

5. 剩余物成份随时间的变化

按有效分离系数进行修正后的(5)式变成:

$$\frac{x_1(r,t)}{x_2(r,t)} = \frac{x_1(t_0)}{x_2(t_0)} [1-F]^{\theta'-1},$$

取对数, 并对时间微分:

$$\frac{1}{x_1(r,t)} \frac{\partial x_1(r,t)}{\partial t} - \frac{1}{x_2(r,t)} \frac{\partial x_2(r,t)}{\partial t} = (\theta'-1) \frac{\partial}{\partial t} \log (1-F),$$

或 $\frac{\partial x_1}{\partial t} = x_1 x_2 (\theta' - 1) \frac{\partial}{\partial t} \log(1 - F)$

积分，并注意到在一級近似的范围内 $x_1 x_2$ 不随时间改变，可得出：

$$x_1(r, t) - x_1(t_0) = x_1(r, t) x_2(r, t) (\theta' - 1) \log(1 - F)$$

令 $\delta x_1(r) \equiv x_1(r, t) - x_1(t_0)$

(符号 Δ 表示沿 r 的变化，符号 δ 表示随 t 的变化) 当 $0 < \theta' < 2$ 时，展开 $\log \theta'$ ：

$$\log \theta' = (\theta' - 1) - \frac{1}{2} (\theta' - 1)^2 + \frac{1}{3} (\theta' - 1)^3 - \dots \cong (\theta' - 1)$$

因此 $\delta x_1(r) = x_1(r, t) x_2(r, t) \log \theta' \log(1 - F)$

$$= -\Delta x_1 \log(1 - F)$$

同样 $\delta M(r) = -\Delta M \log(1 - F)$ ，
(12)

这两个式子给出了残余物中之变化与馏份比的关系。

6. 蒸发物成份的变化

所謂“蒸发物”就是用抽气方法（常用真空蒸餾法）取出的蒸汽。

$$x_1(0, t) = \frac{N_1(t_0) - N_1(r_p, t) - N'_1(t)}{N(t_0) - N(r_p, t) - N'(t)}$$

如果馏份比很小， $N'_1(t)$ 就小于 $N_1(t_0)$ 或 $N_1(r_p, t)$ ；那么

$$\begin{aligned} x_1(0, t) &= \frac{N_1(t_0) - N_1(r_p, t)}{N(t_0) - N(r_p, t)} \\ &= \frac{x_1(t_0) N(t_0) - x_1(r_p, t) N(r_p, t)}{N(t_0) - N(r_p, t)} \\ &= \frac{1}{F} [x_1(t_0) - (1 - F)x_1(r_p, t)] \end{aligned}$$

因为 $N(t) \cong N(r_p, t)$ ，而且按照 F 的定义：

$$1 - F = \frac{N(r_p, t)}{N(t_0)}$$

所以 $\delta x_1(0) \equiv x_1(0, t) - x_1(t_0)$

$$\begin{aligned} &= -x_1(t_0) + \frac{1}{F} [x_1(t_0) - (1 - F)x_1(r_p, t)] \\ &= -\frac{(1 - F)}{F} \delta x_1(r_p) \text{①} \end{aligned}$$

因此 $\delta x_1(0) = \frac{(1 - F)}{F} \Delta x_1 \log(1 - F)$
(13)

以及 $\delta M(0) = \frac{(1 - F)}{F} \Delta M \log(1 - F)$ 。
(14)

这些式子仅在小馏份比的情况下适用。然而我們也仅对这种情况感兴趣，因为仅当馏份比较小时蒸发物中的浓缩才是較大的。

① 譯者注：原文为 $-\frac{(1 - F)}{F} \delta x_1(r)$ 。

7. 成份隨丰度的变化

不論对残余物或蒸发物，都有

$$\delta M = Cx_1 x_2 = C(x_1 - x_1^2),$$

其中 C 包括一切与 x_1 或 x_2 无关的因子。当 $x_1 = x_2 = \frac{1}{2}$ ， δM 取最大值；当 $x = \frac{1}{4}$ 或 $\frac{3}{4}$ 时， δM 仅下降 25%；但是当 x_1 在这个范围以外， δM 就迅速减小，如图 1 所示，所以，如 Mulliken⁽²⁾ 所指出的，此法在用于丰度較低的同位素时只产生較小的分离。

Mulliken⁽²⁾ 假設在每一瞬間都处于平衡态，并根据此假設首先研究了上面某些問題。只要在本文理論中令 $Q = 0$ ，就能够得到他的全部結果。所以，虽然处理的方法有些区别，但化簡后的結果是同样的。

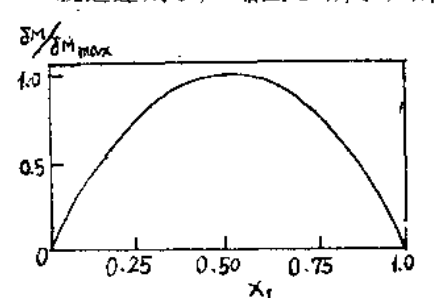


图 1 分子量（或同位素丰度）的改变量随一种同位素之初始丰度的变化

II. 实 驗 方 法

用来进行这一工作的离心机是 Beams 所发展的“真空”型空气驅动式高速离心机⁽⁴⁾。硬鋁轉筒为双圓錐状，外徑 4 吋，內徑 3.5 吋，平均高度 0.8 吋。以 1500 轉/秒的速度——約為破裂速度的 90%——運轉時，在內徑处产生 388,000 g 的离心力場，圓周速度达 400 米/秒。在結構和運轉的細節方面是大体仿照 Beams⁽⁴⁾ 的經驗。

为了說明离心机的优点，最好是用重同位素。曾經提出过，当同位素丰度比是 1:1 时，将产生最大的分离。 Br^{79} 、 Br^{81} 同位素具有这两个特点，其丰度比是 50.4:49.6。质量差为 2。若圆周速度为 4×10^4 厘米/秒，溫度为室溫，则 $\theta = 1.0686$ 。这是平衡态的分离系数。其次，必須規定許可的达到平衡的程度——即規定 ϵ 值（式（8））； ϵ 值是由抽气速率 Q 所决定的。假設 ϵ 是 0.9，这就使分离系数減小到有效值 1.0615。为了計算 2α ，必須確定：使用何种含溴同位素的分子？这种分子之首要特性应是在室溫下的高蒸汽压；此外，它应当不与离心机发生化学反应，并且是容易获得的，等等。溴乙烷正是这样的化合物，在室溫下它的蒸汽压是 386 毫米，这种分子之其他成份的同位素丰度小于溴成份的同位素丰度。 $\text{C}_2\text{H}_5\text{Br}$ 的粘滞系数是 1.87×10^{-4} 泊。所以

$$2\alpha = 43.12 \times 10^{-6} \text{ 克分子/秒},$$

$$Q = 4.78 \times 10^{-6} \text{ 克分子/秒}.$$

同 ϵ 一样， F 值是可以任意選擇的。将根据对被分离物质的需要量和放入轉筒的初始数量选择 F 。在这一工作中，以 10 c.c. (14 克) 的液体放入轉筒，取出 1 c.c.。若在最初取出这 1 c.c.，則被濃縮的是輕同位素；若最后取出这 1 c.c.，被濃縮的是重同位素。图 2 給出根据（5）式算出的丰度比 $K(0, t)$ 与馏份比 F 之关系，对于开始的 $\frac{1}{10}$ 或 $\frac{2}{10}$ ，丰度比之变